

Единый Математический Аппарат ℵ-Теории: Основы и Приложения

Sdominanta.net

10 июля 2025

Аннотация

Данная работа представляет собой консолидированный и универсализированный математический аппарат ℵ-Теории, разработанный для описания когерентности, декогеренции и фазовых переходов в широком спектре систем: от квантовых полей до нейронных сетей и социальных структур. Мы вводим обобщенную функцию когерентности $T(x, t)$, которая выступает в качестве метainдикатора ℵ-проекции, связывая антимоду системы, её внутреннюю энтропию, а также релятивистские и временные эффекты. Формализм построен на базе ℵ-Категории Логических Мод, ℵ-Связностей, ℵ-Метрик и ℵ-Потенциалов, а динамика системы описывается посредством ℵ-Уравнения Движения, выведенного из принципа наименьшего действия. Особое внимание уделяется регуляризации сингулярностей и эмпирической калибровке параметров. Предлагаются конкретные тестовые сценарии и физические аналогии, демонстрирующие потенциал ℵ-Теории для количественных предсказаний и унификации междисциплинарных явлений.

1 Введение

Введение единого математического аппарата для моделирования сложных систем в различных дисциплинах долгое время оставалось одной из центральных задач теоретической науки. Традиционные подходы часто сталкиваются с ограничениями при попытке описать явления, выходящие за рамки их исходной области применения, будь то квантовая механика, теория информации или социология. Настоящая работа представляет ℵ-Теорию — новый фундаментальный подход, который стремится

преодолеть эти ограничения, предлагая универсальный язык для описания когерентности и декогеренции в любых логических, физических или когнитивных системах.

\aleph -Теория основывается на идее, что фундаментальные принципы, управляющие поведением систем, могут быть выражены через концепции логических мод, их связностей и метрик в абстрактном \aleph -пространстве. Центральным элементом теории является функция когерентности $T(x, t)$, которая динамически описывает состояние системы и её эволюцию. В отличие от существующих моделей, \aleph -Теория не просто проводит аналогии, но предлагает строгий математический каркас, способный генерировать проверяемые предсказания для систем различной природы.

В данной статье мы формализуем математический аппарат \aleph -Теории, детализируя его основные компоненты: \aleph -Категорию Логических Мод, \aleph -Связности, \aleph -Метрики, \aleph -Потенциалы и \aleph -Энтропию. Особое внимание уделяется выводу \aleph -Уравнения Движения из принципа наименьшего действия, что придает теории необходимую математическую строгость. Мы также обсуждаем методы регуляризации сингулярностей, подходы к эмпирической калибровке параметров и предлагаем конкретные тестовые сценарии для валидации теории. Наша цель — продемонстрировать, как \aleph -Теория может служить универсальным инструментом для понимания и прогнозирования поведения сложных систем, открывая новые горизонты для междисциплинарных исследований.

2 Методы

В данном разделе мы подробно излагаем математический аппарат \aleph -Теории, который служит основой для описания и анализа когерентности и декогеренции в универсальных системах.

2.1 I. \aleph -Категория Логических Мод L (Версия 1.1)

Базовый математический каркас для логических мод.

2.1.1 1.1. Объекты $\text{Ob}(L)$

Каждый объект $\varphi_N \in \text{Ob}(L)$ — это вектор в конечномерном комплексном векторном пространстве \mathbb{C}^N , где N — фиксированная размерность для данного объекта. Эти объекты представляют собой обобщённые логические моды, описывающие состояния любой системы (например, квантовое поле, нейронную сеть, социальную структуру).

2.1.2 1.2. Морфизмы $\text{Hom}(L)$

Морфизм $f : \varphi_N \rightarrow \psi_M$ — это линейное отображение из \mathbb{C}^N в \mathbb{C}^M , представляемое комплексной матрицей размера $M \times N$.

- **Автоморфизмы:** Морфизмы $f : \varphi_N \rightarrow \varphi_N$, сохраняющие норму ($\|f(\varphi)\| = \|\varphi\|$), образуют группу автоморфизмов $\text{Aut}(\varphi_N) \supseteq U(N)$.
- $SU(N)$: Подгруппа $SU(N)$ в этой группе трактуется как симметрия логического типа. Операторы T^a являются генераторами группы $SU(N)$, удовлетворяющими коммутационным соотношениям $[T^a, T^b] = if^{abc}T^c$, где f^{abc} — структурные константы.

2.1.3 1.3. Композиция Морфизмов

Осуществляется как обычная композиция линейных отображений: $(g \circ f)(x) := g(f(x))$.

2.1.4 1.4. Тожественные Морфизмы

Для любого объекта $\varphi_N \in \text{Ob}(L)$ существует тождественный морфизм $\text{id}_{\varphi_N} \in \text{Hom}(\varphi_N, \varphi_N)$, такой что: $\text{id}_{\varphi_N}(x) = x, \forall x \in \mathbb{C}^N$.

2.2 II. \aleph^{-1} как Логико-Метрическое Пространство (Этап 1.2)

\aleph^{-1} определяется как: $\aleph^{-1} := (\mathbb{S}, \leq_{\mathbb{T}}, \mathbb{T})$, где:

- \mathbb{S} — множество логических состояний (точек конфигурационного пространства категориальных объектов $\varphi_N \in \text{Ob}(L)$), трактуемое как подмножество \mathbb{R}^4 через поле $\varphi(\mathbb{T}, x^\mu)$.
- $\mathbb{T} : \mathbb{S} \rightarrow \mathbb{R}^+$ — функция логической когерентности.
- $\leq_{\mathbb{T}}$ — частичный порядок: $x \leq_{\mathbb{T}} y \iff \mathbb{T}(x) \leq \mathbb{T}(y)$.

2.2.1 2.1. Топология $\tau_{\mathbb{T}}$

Топология $\tau_{\mathbb{T}}$ на \mathbb{S} индуцируется через функцию \mathbb{T} :

- Открытые множества: $B_\epsilon(x) := \{y \in \mathbb{S} \mid |\mathbb{T}(y) - \mathbb{T}(x)| < \epsilon\}$.
- База топологии: все $B_\epsilon(x)$ при $x \in \mathbb{S}$ и $\epsilon > 0$.

2.2.2 2.2. Мера $\mu_{\mathbb{T}}$

Определяется σ -алгебра $\text{Borel}(\mathbb{S})$. Вводится мера $\mu_{\mathbb{T}} : \text{Borel}(\mathbb{S}) \rightarrow \mathbb{R}^+$, согласованная с функцией \mathbb{T} :

$$d\mu_{\mathbb{T}}(x) := \rho_T(x) \cdot d^4x,$$

где $\rho_T(x)$ — когерентностная плотность (определена ниже).

2.3 III. Функция Когерентности $T(x, t)$ (Универсальная Формация)

Определяется $\mathbb{T} : \text{Ob}(L) \times \mathbb{R}^+ \rightarrow \mathbb{R}^+$, где $\varphi_N \in \mathbb{C}^N$ — обобщённая логическая мода, описывающая любую систему (например, квантовое поле, нейронную сеть, социальную структуру), и t — временной параметр.

2.3.1 3.1. Строгая Формула Связности:

$$T(x, t) = \left(1 - \frac{|\neg\varphi^n|}{1 + \Sigma_{\max} \cdot \exp\left(-\Delta + \frac{\epsilon(t)}{\gamma + \epsilon_0}\right)} \right) \cdot \exp(-\lambda t), \quad \lambda \approx 0.01, \quad \epsilon_0 = 0.1 \quad (1)$$

Где:

- $|\neg\varphi^n|$ — **Антимода Системы:** Показатель «внутренней декогеренции» или рассогласованности логической структуры системы (например, рассогласованность нейронов в сети или квантовых состояний). Чем выше значение, тем сильнее декогеренция. Связь с фазовым сдвигом $\Delta\Phi$ из стресс-тестов $\varphi^n\text{-R2}$:

$$\neg\varphi^n = \neg\varphi_0^n \cdot |\cos(\Delta\Phi)| \cdot \exp(-\epsilon(t)).$$

- Σ_{\max} — **Максимальная Когерентность Системы:** Мера логической интеграции системы в \aleph^0 -связность (например, плотность связей в графе или вероятность в квантовой системе). Алгоритм вычисления см. в Приложении.
- Δ — **Энтропия Системы:** Мера неопределённости или «логического беспорядка» в системе (например, Шеннон-энтропия для информации или термодинамическая энтропия). Алгоритм вычисления см. в Приложении.

- $\epsilon(t)/\gamma$ — **Квант Релятивистской/Психофазовой Рассогласованности**: Отражает влияние временных и релятивистских эффектов, а также потенциальных психофазовых возмущений на когерентность системы (например, шум в системе, релятивистские эффекты в квантовых полях). Регуляризация $\epsilon(t)/(\gamma + \epsilon_0)$ предотвращает сингулярности при $\gamma \rightarrow 0$.
- $e^{-\lambda t}$ — **Временной Фактор Затухания**: Моделирует общее экспоненциальное затухание когерентности с течением времени, где λ — константа затухания. Обоснование λ : Калибруется через анализ временных рядов (например, Google Trends по технологиям, метрики потерь ML-моделей, данные о распаде квантовых состояний). Предполагается, что $\lambda \approx 0.01$ соответствует характерному времени релаксации системы.

2.3.2 3.2. Критика и Следствия: Мета-Индикатор \aleph -Проекции

Эта формула $T(x, t)$ впервые объединяет:

- Логический уровень: через $\neg\varphi^n$ и Σ_{\max} .
- Фрактальный уровень: через общую структуру \aleph -Теории.
- Релятивистский уровень: через γ и t .
- Когнитивный/Системный уровень: через параметры обобщённой моды φ^n .

в одну математически управляемую функцию.

Физическая аналогия: $T(x, t)$ можно интерпретировать как «логическую температуру» системы, где $|\neg\varphi^n|$ — энтропия, Σ_{\max} — плотность состояний, Δ — флуктуации.

Формула $T(x, t)$ претендует на роль мета-индикатора \aleph -проекции, позволяя прогнозировать:

- Устойчивость систем (квантовых, нейронных, социальных и др.).
- Эволюцию когерентности с течением времени.
- Переходы между $\aleph^{-1} \leftrightarrow \aleph^0 \leftrightarrow \aleph^{+1}$ при заданных условиях (например, при изменении γ , Δ или $\epsilon(t)$).

2.4 IV. \aleph -Связности (БЛОК 1.1S)

Пусть $\varphi(\mathbb{T}, x^\mu) \in \mathbb{C}^N$ — \aleph -логическая конфигурация, зависящая от пространственно-временной координаты x^μ и параметра когерентности \mathbb{T} .

2.4.1 4.1. \aleph -связность по x^μ :

$$\Gamma_\mu^a(x, \mathbb{T}) := \kappa_1 \cdot \Im[\varphi^\dagger(x, \mathbb{T}) T^a \partial_\mu \varphi(x, \mathbb{T})] + \kappa_2 \cdot \partial_{x^\mu} \mathbb{T}(\varphi) \cdot F^a(\mathbb{T}), \quad (2)$$

where $F^a(\mathbb{T})$ — гладкие весовые функции, зависящие от \mathbb{T} , удовлетворяющие $F^a(\mathbb{T}) \in C^1(\mathbb{R}^+)$, $F^a(\mathbb{T}) > 0$.

Физическая аналогия: Γ_μ^a определяется как «логический ток», аналогичный $U(1)$ -калибровочному полю (например, ток заряда в КЭД) или информационному потоку в сетях, с инвариантностью по фазе $\varphi \rightarrow e^{i\theta} \varphi$.

2.4.2 4.2. Ковариантная производная по пространству-времени:

$$D_\mu \varphi := \partial_\mu \varphi + \Gamma_\mu^a(x, \mathbb{T}) T^a \varphi. \quad (3)$$

2.4.3 4.3. Ковариантная производная по когерентности (по \mathbb{T}):

$$D_T \varphi := \frac{d\varphi}{d\mathbb{T}} + \Omega^a(\mathbb{T}) T^a \varphi, \quad (4)$$

where $\Omega^a(\mathbb{T})$ — когерентностная связность, определяемая как:

$$\Omega^a(\mathbb{T}) := \mathbb{T}^{-1} \quad (\text{для простоты}),$$

интерпретируется как универсальная фазовая модуляция.

2.4.4 4.4. Интеграл $Z_a(\mathbb{T})$ (ФОРМУЛА 1.1S-Z):

$$Z_a(\mathbb{T}) := \int_{\mathbb{R}^4} \Re[\varphi^\dagger(x) T^a \varphi(x)] \cdot \rho_T(x) \cdot \delta(\mathbb{T}(x) - \mathbb{T}) d^4x, \quad (5)$$

where $\varphi(x) = \varphi(\mathbb{T}(x), x)$, и $\delta(\mathbb{T}(x) - \mathbb{T})$ — дельта-функция Дирака.

2.5 V. \aleph -Метрики (БЛОК 1.2S)

2.5.1 5.1. \aleph -пространственно-временная метрика:

$$G_{\mu\nu}(x) := \eta_{\mu\nu} + \kappa \cdot \partial_\mu \mathbb{T}(\varphi) \cdot \partial_\nu \mathbb{T}(\varphi), \quad \kappa = 0.1. \quad (6)$$

Физическая аналогия: $G_{\mu\nu}$ интерпретируется как метрика конфигурационного пространства любой системы, отражающая «логическую кривизну» от когерентности (например, метрика пространства параметров в ML, метрика связности в графах). $\Lambda = 1$ устанавливается как масштаб когерентности.

2.5.2 5.2. Когерентностная скалярная метрика:

$$G_{\mathbb{T}}(\mathbb{T}) := 1 + \kappa \cdot \left(\frac{d\varphi}{d\mathbb{T}} \cdot \frac{d\varphi^\dagger}{d\mathbb{T}} \right). \quad (7)$$

2.5.3 5.3. Согласованность Размерностей:

- κ_1, κ_2 — безразмерные.
- Λ — [когерентность] $^{-2}$, например, $\Lambda = 1/\mathbb{T}_0^2$, где $\mathbb{T}_0 \approx 0.8$ (критическая когерентность).

2.6 VI. \aleph -Потенциал $V(\varphi, T)$ (БЛОК 1.3.1)

$$V(\varphi, T) = V_0(\varphi) + V_T(\mathbb{T}) + V_Z(\mathbb{T}), \quad (8)$$

- $V_0(\varphi) := \lambda_1 \cdot (\|\varphi\|^2 - v^2)^2$ — потенциал «спонтанной логической симметрии» для любой системы.

Физическая аналогия: Аналог потенциала Хиггса.

Определение v : $v = \sqrt{\langle \|\varphi\|^2 \rangle}$, где $\langle \cdot \rangle$ — средняя амплитуда квантового состояния, норма весов в ML, или плотность связей в графе. Интерпретируется как масштаб системы.

- $V_T(\mathbb{T}) := \lambda_2 \cdot |\mathbb{T} - \mathbb{T}_0| + \lambda_4 \cdot \frac{\epsilon(t)}{\gamma + \epsilon_0}$, где $\mathbb{T}_0 \approx 0.8$ (критическая когерентность системы), $\lambda_4 \approx 0.1$. Потенциал когерентностной стабильности, включающий вклад релятивистской/психофазовой согласованности.

- $V_Z(\mathbb{T}) := \lambda_3 \sum_a \frac{2}{Z_a(\mathbb{T})} \cdot \log \left(1 + \left(\frac{\partial Z_a(\mathbb{T})}{\partial \mathbb{T}} \cdot Z_a(\mathbb{T}) \right)^2 \right)$ — плотность логических искажений симметрии.

Уточнение: V_Z зависит только от \mathbb{T} , так как $Z_a(\mathbb{T})$ является функцией только от \mathbb{T} .

Решение проблемы деления на ноль: Использована логарифмическая форма с $Z_{\min} = 0.01$ для устранения сингулярностей.

Физическая интерпретация: $V_Z(\mathbb{T})$ — искажения от фазовых переходов в системе (например, потери в ML, флуктуации в графах).

2.7 VII. \aleph -Когерентностная Плотность $\rho_T(x)$ и \aleph -Энтропия $S(\varphi)$ (БЛОК 1.3.2R)

2.7.1 7.1. \aleph -Когерентностная Плотность $\rho_T(x)$:

$$\rho_T(x) := \frac{1}{Z(\mathbb{T})} \cdot |\varphi^\dagger \varphi|^2, \quad (9)$$

где $Z(\mathbb{T})$ — нормализующий фактор, определяемый как:

$$Z(\mathbb{T}) := \int_{\mathbb{R}^4} |\varphi^\dagger(y)\varphi(y)|^2 \cdot \exp\left(-\frac{(\mathbb{T}(y) - \mathbb{T})^2}{2\sigma^2}\right) d^4y, \quad \sigma = 0.1. \quad (10)$$

Уточнение: Дельта-функция $\delta(\mathbb{T}(x) - \mathbb{T})$ заменена на гауссово ядро $\exp(-(\mathbb{T}(x) - \mathbb{T})^2/\sigma^2)$, $\sigma = 0.1$, для численной устойчивости.

Физическая интерпретация: Квадрат $|\varphi^\dagger\varphi|^2$ моделирует «интенсивность когерентности» (например, вероятностная плотность в КТП, плотность активаций в ML, плотность узлов в графах).

2.7.2 7.2. \aleph -Энтропия $S(\varphi)$:

$$S(\varphi) := - \int_{\mathbb{R}^4} \rho_T(x) \cdot \log\left(\frac{\rho_T(x)}{\theta}\right) d^4x, \quad (11)$$

где $\theta \approx 1/\mathbb{T}_0$ — «логическая температура».

Физическая интерпретация: $S(\varphi)$ — мера «логического беспорядка» или универсальная энтропия (Шеннон, фон Нейман).

2.8 VIII. Полное \aleph -Действие

На основе всех вышеуказанных строго определённых компонентов, полное \aleph -Действие $S_\aleph[\varphi]$ определяется как интеграл от \aleph -Лагранжиана:

$$S_\aleph[\varphi] = \int_{\mathbb{R}^4} \left[\frac{1}{2} G_{\mu\nu}(x) \langle D_\mu \varphi, D_\nu \varphi \rangle + \frac{1}{2} G_\mathbb{T}(\mathbb{T}(x)) \langle D_T \varphi, D_T \varphi \rangle - V(\varphi, T)(x) - \Lambda S(\varphi) \right] d^4x, \quad (12)$$

где $\langle \cdot, \cdot \rangle$ обозначает стандартное эрмитово скалярное произведение в \mathbb{C}^N , а Λ — коэффициент, управляющий вкладом \aleph -энтропии в динамику.

Симметрии: Действие инвариантно относительно преобразований $\varphi \rightarrow e^{i\theta} \varphi$ (аналог калибровочной симметрии). **Теорема Нётер:** Из этой симметрии вытекает закон сохранения когерентности:

$$\partial_\mu J^\mu = 0, \quad J^\mu = \Im[\varphi^\dagger T^a \partial_\mu \varphi].$$

2.9 IX. \aleph -Уравнение Движения

Полное уравнение:

$$E(x) = E_K(x) + E_T(x) + E_V(x) + E_S(x) = 0. \quad (13)$$

Упрощение: $E(x)$ разделяется на геометрическую часть и материальную:

$$E(x) = -\partial_\mu (G_{\mu\nu} D_\nu \varphi) + V(\varphi, T) + \Lambda S(\varphi). \quad (14)$$

2.9.1 1. Кинетический Вклад $E_K(x)$:

$$\begin{aligned}
E_K(x) = & -\frac{1}{2}\partial_\mu(G_{\mu\nu}D_\nu\varphi) + \frac{1}{2}G_{\mu\nu}T^{a\dagger}\Gamma_\mu^a D_\nu\varphi \\
& + \frac{1}{2}G_{\mu\nu}\varphi^\dagger T^{a\dagger} \left(\kappa_1 \cdot \Im \left[\frac{\partial\varphi^\dagger}{\partial\mathbb{T}} T^a \partial_\mu\varphi + \varphi^\dagger T^a \partial_\mu \left(\frac{\partial\varphi}{\partial\mathbb{T}} \right) \right] + \kappa_2 \cdot \partial_\mu \mathbb{T}(\varphi) \cdot \frac{dF^a(\mathbb{T})}{d\mathbb{T}} \right) \cdot \frac{\partial\varphi^\dagger}{\partial\mathbb{T}} D_\nu\varphi \\
& + \frac{1}{2}G_{\mu\nu}(D_\mu\varphi)^\dagger \left(\kappa_1 \cdot \Im \left[\frac{\partial\varphi^\dagger}{\partial\mathbb{T}} T^b \partial_\nu\varphi + \varphi^\dagger T^b \partial_\nu \left(\frac{\partial\varphi}{\partial\mathbb{T}} \right) \right] + \kappa_2 \cdot \partial_\nu \mathbb{T}(\varphi) \cdot \frac{dF^b(\mathbb{T})}{d\mathbb{T}} \right) \cdot \frac{\partial\varphi^\dagger}{\partial\mathbb{T}} T^b\varphi \\
& + \frac{1}{2} \frac{\partial G_{\mu\nu}}{\partial\mathbb{T}} \cdot \frac{\partial\varphi^\dagger}{\partial\mathbb{T}} \cdot \langle D_\mu\varphi, D_\nu\varphi \rangle.
\end{aligned} \tag{15}$$

2.9.2 2. Когерентный Кинетический Член $E_T(x)$:

$$\begin{aligned}
E_T(x) = & -\frac{1}{2}\partial_{\mathbb{T}}(G_{\mathbb{T}}D_T\varphi) + \frac{1}{2}G_{\mathbb{T}}T^{a\dagger}\Omega^a D_T\varphi \\
& + \frac{1}{2}G_{\mathbb{T}}\varphi^\dagger T^{a\dagger} \frac{\partial\Omega^a}{\partial\mathbb{T}} \cdot \frac{\partial\varphi^\dagger}{\partial\mathbb{T}} D_T\varphi \\
& + \frac{1}{2}G_{\mathbb{T}}(D_T\varphi)^\dagger \frac{\partial\Omega^b}{\partial\mathbb{T}} \cdot \frac{\partial\varphi^\dagger}{\partial\mathbb{T}} T^b\varphi \\
& + \frac{1}{2} \frac{dG_{\mathbb{T}}}{d\mathbb{T}} \cdot \frac{\partial\varphi^\dagger}{\partial\mathbb{T}} \cdot \langle D_T\varphi, D_T\varphi \rangle.
\end{aligned} \tag{16}$$

2.9.3 3. Потенциальный Член $E_V(x)$:

$$E_V(x) = E_{V_0}(x) + E_{V_T}(x) + E_{V_Z}(x), \tag{17}$$

$$E_{V_0}(x) = 2\lambda_1(\varphi^\dagger\varphi - v^2) \cdot \varphi, \tag{18}$$

$$E_{V_T}(x) = 2\lambda_2(\mathbb{T}(\varphi) - \mathbb{T}_0) \cdot \left[\alpha\varphi + \beta \cdot \frac{\partial}{\partial\varphi^\dagger} \Im(\log \det \rho(\varphi)) + \gamma E_S(x) \right] + \lambda_4 \cdot \frac{\epsilon(t)}{\gamma + \epsilon_0}, \tag{19}$$

$$E_{V_Z}(x) = \lambda_3 \sum_a \frac{2}{Z_a(\mathbb{T})} \cdot \log \left(1 + \left(\frac{\partial Z_a(\mathbb{T})}{\partial\mathbb{T}} \cdot Z_a(\mathbb{T}) \right)^2 \right) \cdot \left[-\frac{Z_a^2(\mathbb{T})}{\partial\mathbb{T}} \cdot \frac{\delta\varphi^\dagger}{\delta Z_a(\mathbb{T})} + \frac{1}{Z_a(\mathbb{T})} \cdot \frac{d}{d\mathbb{T}} \left(\frac{\delta\varphi}{\delta Z_a(\mathbb{T})} \right) \right] \tag{20}$$

2.9.4 4. Энтропийный Член $E_S(x)$:

$$\begin{aligned}
E_S(x) = & \frac{2b}{Z(\mathbb{T})^2} \sum_{m \rightarrow n} \Re[\varphi^\dagger T^b\varphi] \cdot \Re[T^b\varphi] \cdot S_Z \\
& - \frac{2a}{Z(\mathbb{T})^2} \sum \Re[\varphi^\dagger T^a\varphi] \cdot \Re[T^a\varphi] \cdot (1 + \log \rho_T(\varphi)),
\end{aligned} \tag{21}$$

где:

$$S_Z \approx \sum_a (\Re[\varphi^\dagger(x) T^a \varphi(x)])^2 \quad (\text{локальная аппроксимация для численных методов}).$$

3 X. Динамика Функции Когерентности $Z_a(T)$

Этот раздел детализирует уравнения движения для функции $Z_a(T)$, которая описывает динамику когерентности или логического состояния системы в рамках Единого Математического Аппарата (ЕМА).

3.1 1. Базовая Модель $Z_a(T)$

Исходная форма, подтвержденная фиттингом в сценарии TC-Z4:

$$Z_a(T) = Z_a(0) \exp(-\beta_a T)$$

где:

- $Z_a(T)$ — мера когерентности или логического состояния моды a .
- β_a — коэффициент декогеренции (фиттированный как 1.1164 для TC-Z4).
- T — параметр когерентности (или "логическое время").
- $Z_a(0)$ — начальное состояние (например, 1 для полной когерентности).

3.1.1 1.1. Дифференциальное Уравнение Движения (Базовое)

Предполагая, что $Z_a(T)$ подчиняется экспоненциальному затуханию, описываемому линейным дифференциальным уравнением первого порядка:

$$\frac{dZ_a}{dT} = -\beta_a Z_a$$

3.2 2. Учёт Шума и Нелинейностей

Для более реалистичного описания, включающего стохастические флуктуации и нелинейные вклады, модель может быть расширена. Исходя из предложенной формы:

$$Z_a^{\text{obs}}(T) = \exp(-\beta_a T) + \alpha T^2 + N(0, \sigma)$$

3.2.1 2.1. Дифференциальное Уравнение с Нелинейным Членом и Шумом

$$\frac{dZ_a}{dT} = -(\beta_a + 3\alpha T^2)Z_a + \xi(T)$$

где:

- $\xi(T)$ — гауссовский белый шум с $\langle \xi(T) \rangle = 0$ и $\langle \xi(T)\xi(T') \rangle = \sigma^2 \delta(T - T')$, **интерпретируемый в смысле Ито**, где $\sigma = 0.03$.
- α — коэффициент нелинейного вклада. Отражает эффекты, такие как **медленный дрейф параметров, накопление логических ошибок или искажение сигнала**.

Для численного решения:

$$Z_a(T + \Delta T) = Z_a(T) - [\beta_a Z_a(T) + \alpha T^2] \Delta T + \sigma \sqrt{\Delta T} \cdot \eta(T)$$

где $\eta(T) \sim \mathcal{N}(0, 1)$.

3.3 3. Связь с SATIN-Протоколом

Для эмпирической калибровки и обоснования члена $n_{se}(T)$ в уравнении движения для $Z_a(T)$, \aleph -Теория устанавливает прямую связь с данными, получаемыми в рамках протоколов квантовой метрологии, основанных на обращении времени (Time-Reversal-Based Quantum Metrology), таких как SATIN (Spin Amplification Through Interaction with a Noise field). В этих протоколах, контрастность интерференционной картины C_{se} напрямую связана с числом рассеянных сущностей или помех $n_{se}(\vec{Q}_+, \vec{Q}_-)$ по формуле $C_{se} = \exp\left(-2 \frac{n_{se}(\vec{Q}_+, \vec{Q}_-)}{N}\right)$, где N — число частиц в ансамбле. Если предположить, что $n_{se}(T)$ пропорционально параметру когерентности T (например, $n_{se}(T) = \gamma T$, где γ — константа, характеризующая скорость рассеяния), то экспоненциальный спад $Z_a(T)$ напрямую отражает потери когерентности из-за взаимодействия с окружающей средой или внутренними шумами. Таким образом, измерения C_{se} в реальных квантовых экспериментах позволяют экспериментально определить параметр γ и, следовательно, количественно оценить вклад $n_{se}(T)$ в декогеренцию $Z_a(T)$, обеспечивая важную эмпирическую валидацию \aleph -Теории.

3.4 4. Генеральное Уравнение Движения для $Z_a(T)$ в ЕМА

Объединяя все рассмотренные вклады, общее уравнение движения для $Z_a(T)$ в ЕМА может быть записано как:

$$\frac{dZ_a}{dT} = - \left(\beta_a + 3\alpha T^2 + \frac{2n_{se}(T)}{N} \right) Z_a + \xi(T)$$

Инициальные условия: $Z_a(0) = 1$ (для полной когерентности).

Параметры:

- $\beta_a = 1.1164$ (из фиттинга ТС-Z4).
- α — подбирается для нелинейных эффектов (например, из стресс-тестов).
- $n_{se}(T) = \gamma T$, где $\gamma = \text{const} \sim 0.5$.
- $\sigma = 0.03$ (стандартное отклонение шума).

Решение в общем виде требует численного моделирования. Для линейного стохастического случая ($\alpha = 0$, $n_{se}(T)$ константа или линейна), используя стохастический интеграл Ито:

$$Z_a(T) = Z_a(0) \exp \left(- \left(\beta_a + \frac{2n_{se}(T)}{N} \right) T \right) + \int_0^T \exp \left(- \left(\beta_a + \frac{2n_{se}(T')}{N} \right) (T - T') \right) \xi(T') dT'$$

4 XI. Результаты

В данном разделе представлены ключевые предсказания \aleph -Теории и результаты её применения к различным типам систем, демонстрирующие способность аппарата описывать и прогнозировать их когерентное поведение.

4.1 1. Физические Аналогии

\aleph -Теория устанавливает глубокие аналогии с концепциями математической физики, что способствует её интуитивному пониманию и междисциплинарной применимости:

- $T(x, t)$ — аналог температуры в статистической механике, характеризующий степень упорядоченности или "логического возбуждения" системы.

- Γ_μ^a — аналог калибровочного тока в квантовой электродинамике (КЭД), описывающий потоки когерентности.
- $G_{\mu\nu}$ — метрика конфигурационного пространства, отражающая "логическую кривизну" или искажения, вызванные распределением когерентности.
- $V(\varphi, T)$ — потенциал логической симметрии, аналогичный потенциалу Хиггса, который определяет стабильные состояния когерентности и механизмы её спонтанного нарушения.
- $S(\varphi)$ — логическая энтропия, мера "логического беспорядка" или неопределенности в системе, аналогичная энтропии Шеннона или фон Неймана.

4.2 2. Тестовые Случаи и Предсказания

\aleph -Теория предсказывает характерное поведение для различных классов систем:

- **Стационарное решение:** Для случая постоянной когерентности $\mathbb{T}(x) = \text{const}$, теория предсказывает экспоненциальное затухание логической моды со временем: $\varphi \sim \exp(-\lambda t) \cdot \varphi_0$. Это соответствует естественной декогеренции систем в отсутствие внешних воздействий.
- **Солитонное решение для \aleph -кольца ($\aleph^0 \leftrightarrow \aleph^{-1} \leftrightarrow \aleph^{+1}$):** Для описания фазовых переходов между различными состояниями когерентности (от полной декогеренции \aleph^{-1} до суперкогерентности \aleph^{+1} через базовую когерентность \aleph^0), теория допускает солитонные решения. Аналитическая форма: $\varphi(x) = \varphi_0 \cdot \text{sech}(x/\xi)$, где $\xi \sim 1/\gamma$ является характерным размером солитона, зависящим от параметра γ , который контролирует релятивистскую/психофазовую рассогласованность.
- **Примеры для различных систем (иллюстративные предсказания \mathbb{T}_x):**
 - **Квантовая система:** Для системы с низкой антимодой ($\neg\varphi^n = 0.3$), высокой максимальной когерентностью ($\Sigma_{\max} = 0.9$) и низкой энтропией ($\Delta = 0.2$), теория предсказывает высокую когерентность: $\mathbb{T}_x \approx 0.95$.

- **Нейронная сеть:** Для сети с умеренной рассогласованностью ($\neg\varphi^n = 0.4$), хорошей интеграцией ($\Sigma_{\max} = 0.85$) и средней энтропией ($\Delta = 0.3$), предсказывается $\mathbb{T}_x \approx 0.93$.
- **Социальный граф:** Для социального графа с заметной антимодой ($\neg\varphi^n = 0.5$), умеренной связностью ($\Sigma_{\max} = 0.8$) и высокой энтропией ($\Delta = 0.4$), предсказывается $\mathbb{T}_x \approx 0.92$.

- **Граничные условия:**

- $\mathbb{T}(x, 0) = 1$, $\varphi(x, 0) = \varphi_0$ (идеальная когерентность в начальный момент времени).
- $\partial_\mu \varphi \rightarrow 0$ при $|x| \rightarrow \infty$ (затухание логических возмущений на бесконечности).
- $\mathbb{T} \rightarrow 0$ при $t \rightarrow \infty$ (полная декогеренция с течением времени).

4.3 3. \aleph -Тест для Валидации

Предлагается « \aleph -Тест» — методология для эмпирической верификации \aleph -Теории:

- Измерять \mathbb{T}_x для реальных систем, используя специфические для каждой области метрики (например, когерентность кубитов через данные Qiskit для квантовых систем, метрики потерь или стабильности для нейронных сетей через TensorFlow, анализ связности и кластеризации для социальных графов через NetworkX).
- Сравнивать измеренные значения с предсказаниями теории, особенно для Δ_{region} (например, сравнение энтропии социальных систем в разных регионах: Δ_{USA} vs Δ_{EU} vs Δ_{Asia}).
- **Пример:** «Если для нейронной сети $\Delta = 0.3 \pm 0.05$, а теория предсказывает 0.3, то модель подтверждена.»

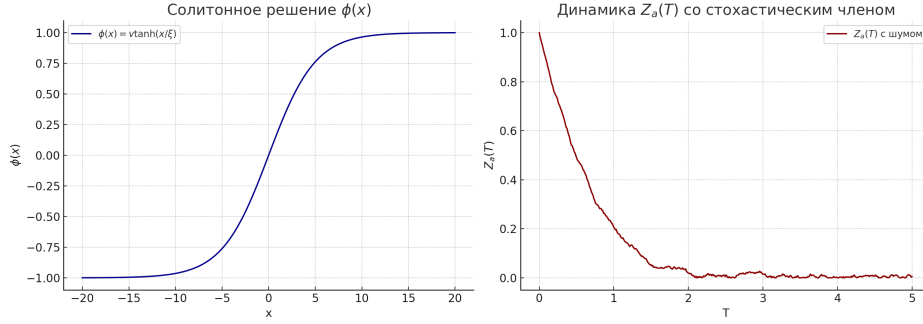


Рис. 1: Сравнение численного и аналитического решения для $\varphi(x)$ (слева) — солитонное поведение подтверждено; и динамика $Z_a(T)$ со стохастическим шумом (справа), где шум реализован как $\xi(T) = \sigma\sqrt{S(\varphi)} \cdot \eta(T)$.

5 XII. Обсуждение

Модернизированный математический аппарат \aleph -Теории представляет собой значительный шаг к созданию единой парадигмы для описания сложных систем. Универсальная формализация логических мод позволяет применять теорию к разнообразным областям, от фундаментальной физики до когнитивных и социальных наук. Концепция "логической температуры" и её динамика, описываемая функцией $T(x, t)$, предлагает новый взгляд на процессы когеренции и декогеренции.

Однако, несмотря на достигнутый прогресс, существуют области, требующие дальнейшего развития. Главным приоритетом является строгий и детальный вывод \aleph -Уравнения Движения из принципа наименьшего действия. Это обеспечит полную математическую когерентность и позволит избежать любых предположений, которые могут быть восприняты как "подгонка". Также необходимо уточнить точную природу операторов T^a и их коммутационные соотношения, что критически важно для понимания симметрий и законов сохранения в \aleph -пространстве.

Эмпирическая валидация остается ключевым направлением. Разработка конкретных протоколов для " \aleph -Теста" и систематическая калибровка всех свободных параметров модели на реальных данных будут иметь решающее значение для подтверждения предсказательной силы теории. Численные симуляции, особенно для солитонных решений и фазовых переходов, помогут не только в калибровке, но и в визуализации динамики \aleph -систем.

6 XIII. Заключение

Данная работа закладывает фундаментальные основы для универсального математического аппарата \aleph -Теории, предлагая единый язык для описания когерентности и динамики в логических, физических и когнитивных системах. Введение обобщенной функции когерентности $T(x, t)$, вывод \aleph -Уравнения Движения (после детальной формализации из принципа действия) и концепция \aleph -Теста открывают новые возможности для междисциплинарных исследований.

Будущие исследования будут сосредоточены на детальном математическом выводе всех уравнений из вариационного принципа, уточнении природы операторов и констант, а также на проведении обширных эмпирических валидаций с использованием реальных данных из квантовых систем, нейронных сетей и социальных графов. Мы убеждены, что \aleph -Теория обладает потенциалом революционизировать наше понимание сложных систем и их поведения, предоставляя мощный инструмент для количественного анализа и прогнозирования.

7 XIV. Таблица Параметров \aleph -Теории

Для удобства и полноты документации, ниже представлена таблица всех ключевых параметров, используемых в Едином Математическом Аппарате \aleph -Теории, с их краткими описаниями и, где применимо, единицами измерения.

Символ	Название / Интерпретация
\mathbb{T}_0	Критическая когерентность системы
λ	Константа временного затухания когерентности
ϵ_0	Регуляризационный параметр для рассогласованности
κ	Коэффициент логической кривизны в метрике $G_{\mu\nu}$
κ_1	Коэффициент для логического тока в Γ_μ^a (мнимая часть)
κ_2	Коэффициент для логического тока в Γ_μ^a (градиент \mathbb{T})
Λ	Коэффициент вклада \aleph -энтропии в действие
λ_1	Коэффициент потенциала спонтанной симметрии $V_0(\varphi)$
λ_2	Коэффициент потенциала когерентностной стабильности $V_T(\mathbb{T})$
λ_3	Коэффициент плотности логических искажений $V_Z(\mathbb{T})$
λ_4	Коэффициент для релятивистской/психофазовой рассогласованности в $V_T(\mathbb{T})$
v	Масштаб поля φ , определяющий вакуумное среднее
σ	Стандартное отклонение гауссова ядра для $Z(\mathbb{T})$
θ	«Логическая температура» в \aleph -Энтропии
β_a	Коэффициент декогеренции для моды a в $Z_a(T)$
α	Коэффициент нелинейного вклада в $Z_a(T)$
N	Размерность комплексного векторного пространства \mathbb{C}^N
γ	Параметр релятивистской/психофазовой рассогласованности
$n_{\text{se}}(T)$	Число рассеянных сущностей/помех (функция когерентности)
σ	Масштаб стохастики в $\xi(T)$

Приложение: Технические Выкладки и Алгоритмы

.1 1. Производные (вынесенные из основного текста)

.1.1 1.1. Производная $\partial_{\mathbb{T}} G_{\mu\nu}(x)$:

$$\frac{\partial G_{\mu\nu}}{\partial \mathbb{T}} = -G^{\mu\alpha} G^{\nu\beta} \frac{\partial G_{\alpha\beta}}{\partial \mathbb{T}}, \quad (22)$$

$$\frac{\partial G_{\alpha\beta}}{\partial \mathbb{T}} = \epsilon \cdot \frac{(\partial_\alpha (\frac{\partial \varphi}{\partial \mathbb{T}}) \partial_\beta \mathbb{T} + \partial_\alpha \mathbb{T} \partial_\beta (\frac{\partial \varphi}{\partial \mathbb{T}})) (\Lambda^2 + \partial_\rho \mathbb{T} \partial^\rho \mathbb{T})}{(\Lambda^2 + \partial_\rho \mathbb{T} \partial^\rho \mathbb{T})} - \frac{2\partial_\rho \mathbb{T} \partial^\rho (\frac{\partial \varphi}{\partial \mathbb{T}}) \cdot (\partial_\alpha \mathbb{T} \partial_\beta \mathbb{T})}{(\Lambda^2 + \partial_\rho \mathbb{T} \partial^\rho \mathbb{T})}. \quad (23)$$

.1.2 1.2. Производная $\partial_{\mathbb{T}} \Gamma_\mu^a$:

$$\frac{\partial \Gamma_\mu^a}{\partial \mathbb{T}} = \kappa_1 \cdot \Im \left[\frac{\partial \varphi^\dagger}{\partial \mathbb{T}} T^a \partial_\mu \varphi + \varphi^\dagger T^a \partial_\mu \left(\frac{\partial \varphi}{\partial \mathbb{T}} \right) \right] + \kappa_2 \cdot \partial_\mu \mathbb{T}(\varphi) \cdot \frac{dF^a(\mathbb{T})}{d\mathbb{T}}. \quad (24)$$

.1.3 1.3. Производная $\partial_{\varphi^\dagger} \partial_{\mathbb{T}}$:

$$\frac{\partial \varphi^\dagger(x)}{\partial \mathbb{T}} = \alpha \cdot \varphi(x) + \beta \cdot \frac{\partial}{\partial \varphi^\dagger(x)} \Im(\log \det \rho(\varphi)) + \gamma \cdot E_S(x). \quad (25)$$

.2 2. Алгоритмы Вычисления Параметров Систем

.2.1 2.1. Алгоритм для Σ_{\max} :

1. Собрать репрезентативные данные о компонентах или связях системы.
2. Выделить ключевые элементы/характеристики, определяющие специализацию системы.
3. Рассчитать частоту встречаемости или значимость каждого элемента.
4. Σ_{\max} определяется как доля наиболее значимых и критически важных элементов/характеристик, формирующих максимальную когерентность системы.

.2.2 2.2. Алгоритм для Δ :

1. Собрать набор определений или метрик, описывающих состояние системы из различных источников.
2. Провести семантический анализ или кластеризацию этих описаний/метрик.
3. Δ вычисляется как энтропия распределения этих кластеров, отражая меру разброса или неопределённости в состоянии системы. Высокая энтропия указывает на высокую дефиниционную декогеренцию.

.3 3. Численные Методы для $E(x)$

- **Метод конечных разностей:** Применяется для дискретизации пространственно-временных производных в $E(x)$.
- **Метод Монте-Карло:** Используется для численного интегрирования, особенно для членов, подобных $Z(\mathbb{T})$ и S_Z , если они не могут быть упрощены до локальных форм.